

FLAVONOIDES GLICOSILADOS DE *Erythroxylum pulchrum* A. St.-Hil. (Erythroxylaceae)

Camila Holanda de Albuquerque^a, Josean Fechine Tavares^{a,*}, Steno Lacerda de Oliveira^a, Tainá Souza Silva^a, Gregório Fernandes Gonçalves^b, Vicente Carlos de Oliveira Costa^a, Maria de Fátima Agra^c, Hilizeth de Luna Freire Pessoa^b e Marcelo Sobral da Silva^a

^aDepartamento de Ciências Farmacêuticas, Centro de Ciências da Saúde, Universidade Federal da Paraíba, 58051-900 João Pessoa – PB, Brasil

^bDepartamento de Biologia Molecular, Centro de Ciências Exatas e da Natureza, Universidade Federal da Paraíba, 58100-001 João Pessoa – PB, Brasil

^cDepartamento de Biotecnologia, Centro de Biotecnologia, Universidade Federal da Paraíba, 58051-970 João Pessoa – PB, Brasil

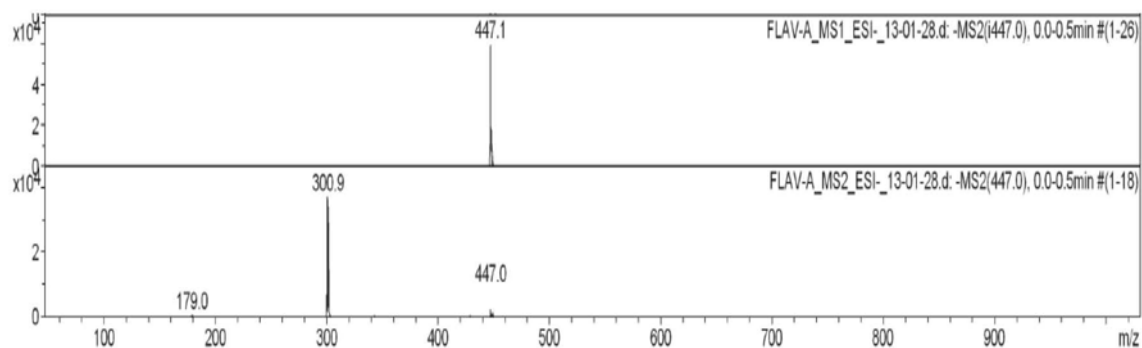


Figura 1S. Espectro de massas EM-IES de 1

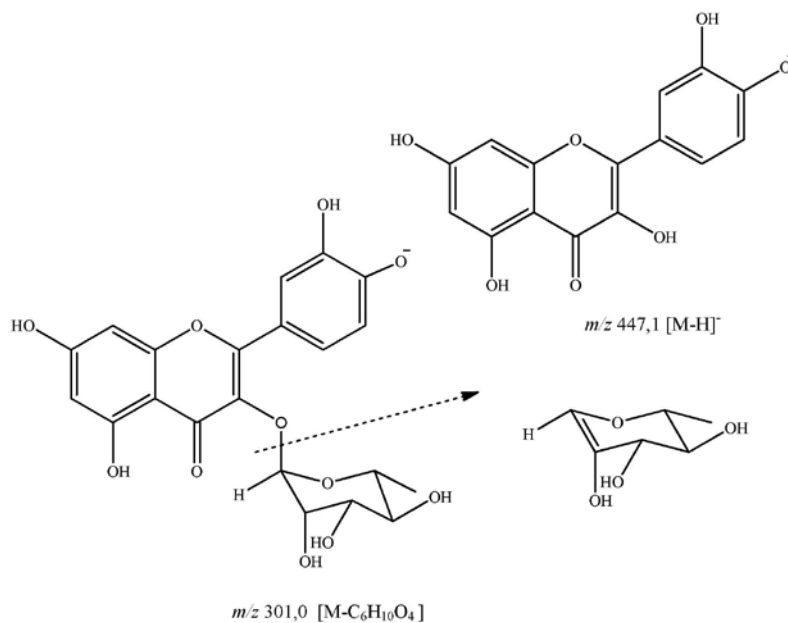


Figura 2S. Proposta de fragmentação de 1

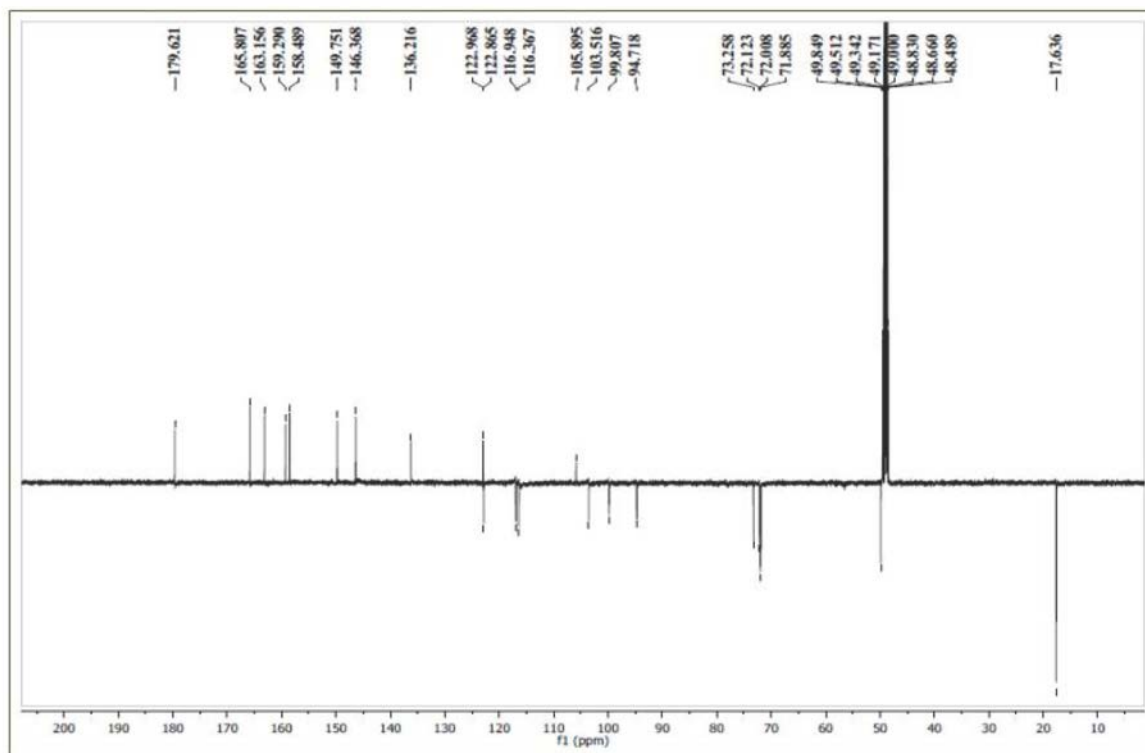


Figura 3S. Espectro de RMN ^{13}C de **1** em 125 MHz obtido em CD_3OD

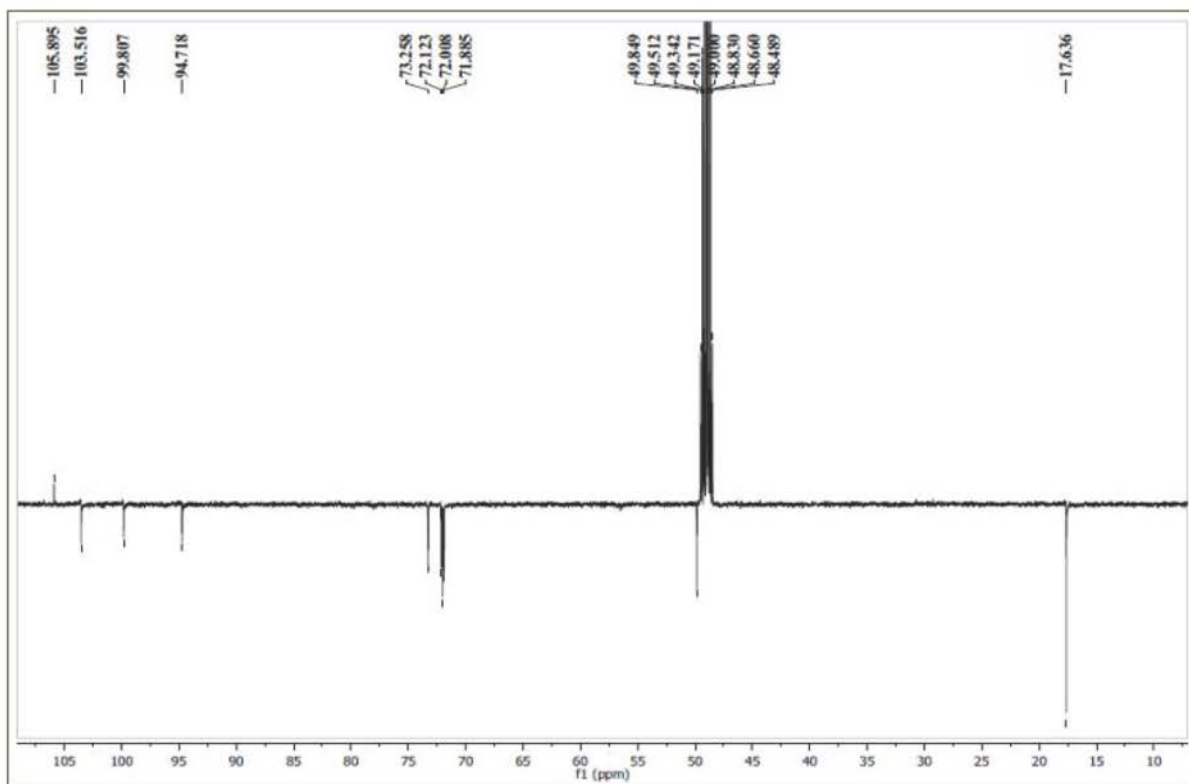


Figura 4S. Espectro de RMN ^{13}C de **1** em 125 MHz obtido em CD_3OD (expansão de 105-10 ppm)

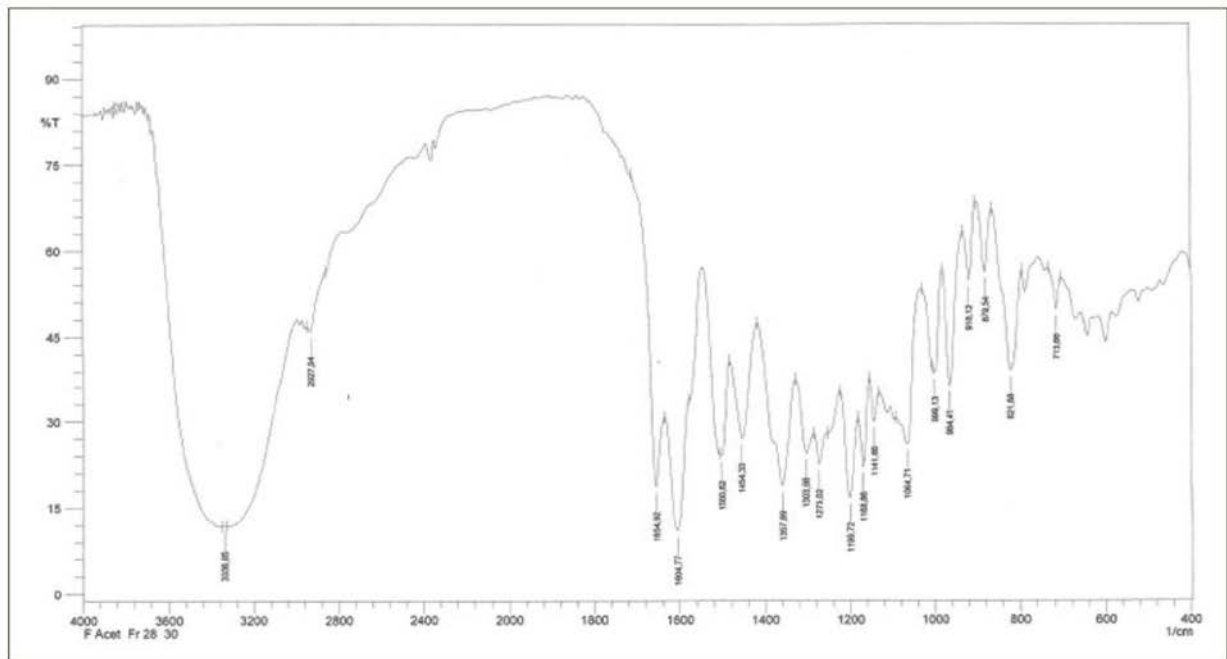


Figura 5S. Espectro de Infravermelho de 1 obtido em pastilhas de KBr

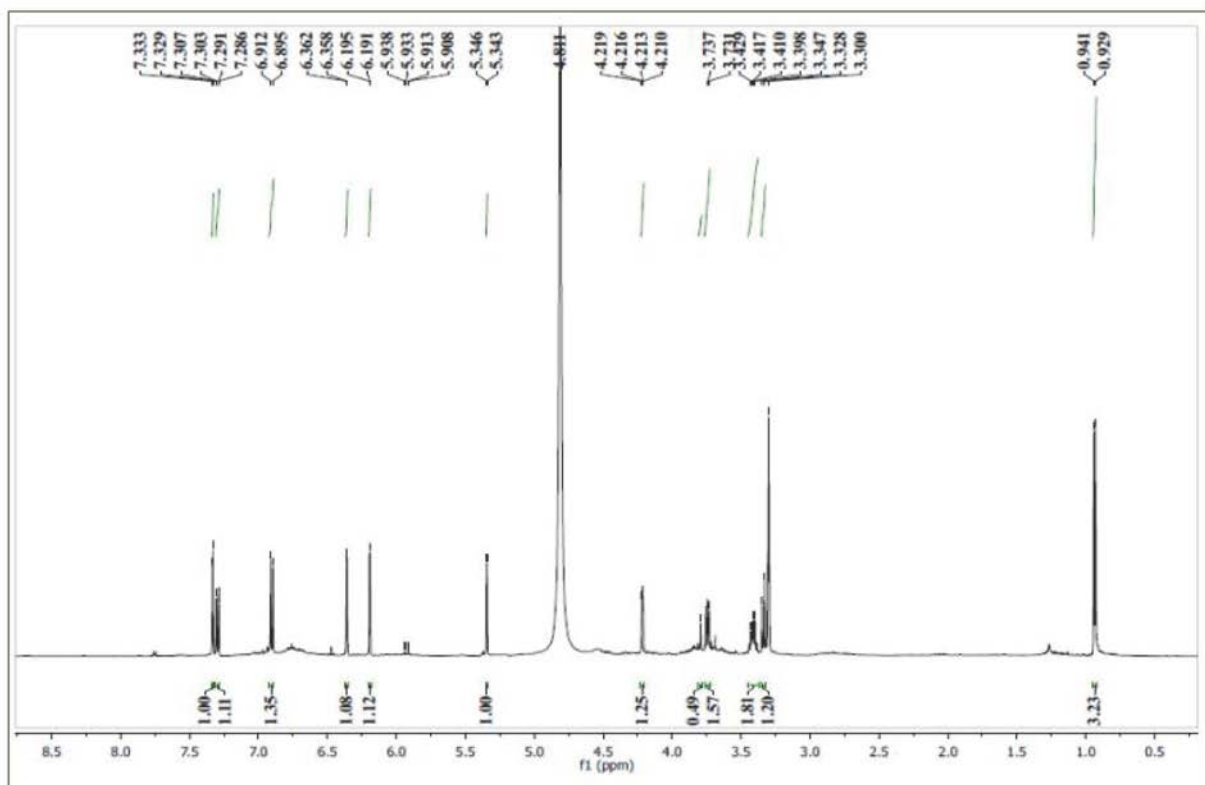


Figura 6S. Espectro de RMN ^1H de 1 em 500 MHz obtido em CD_3OD

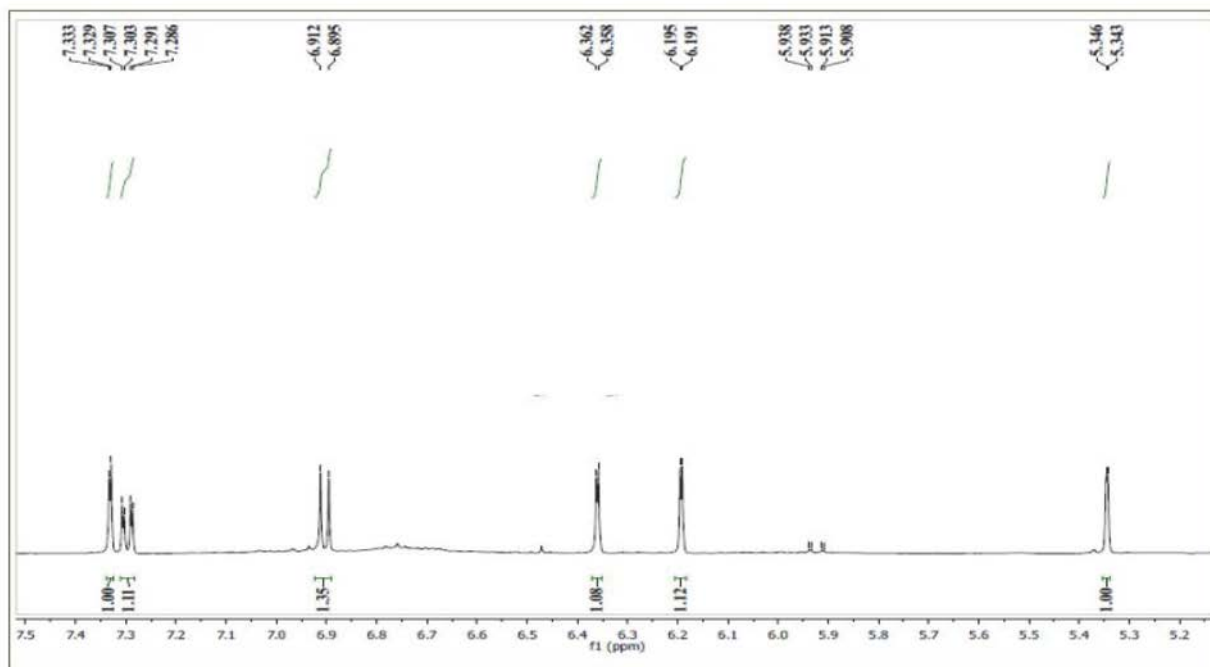


Figura 7S. Espectro de RMN ^1H de **1** em 500 MHz obtido em CD_3OD (expansão 7,4-5,2 ppm)

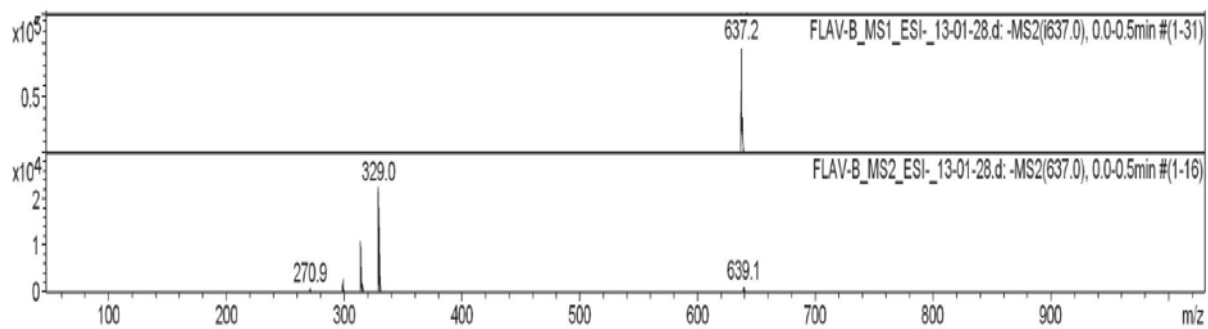


Figura 8S. Espectro de massas de massas EM-IES de **2**

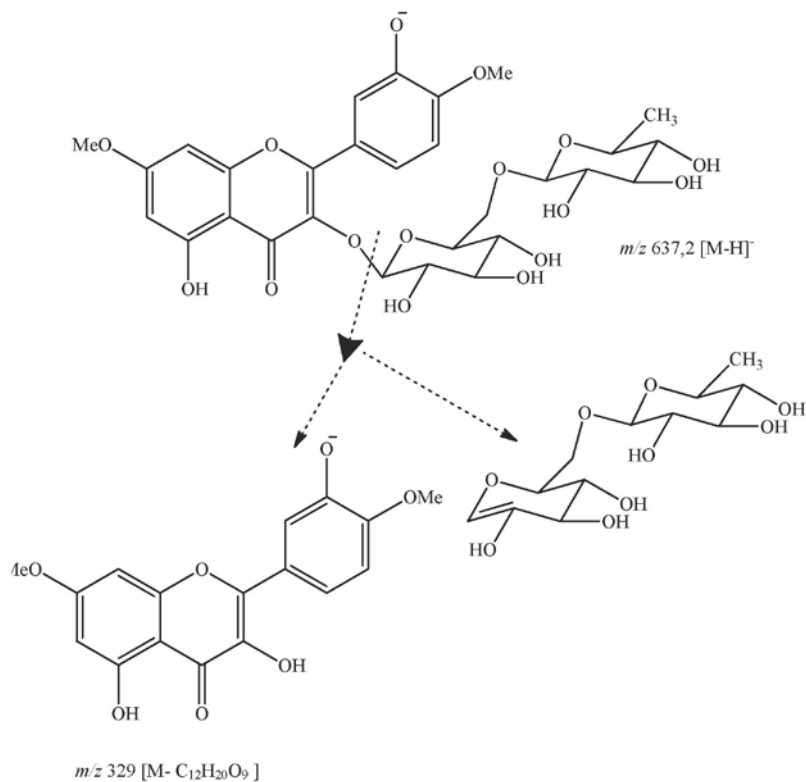


Figura 9S. Proposta de fragmentação de 2

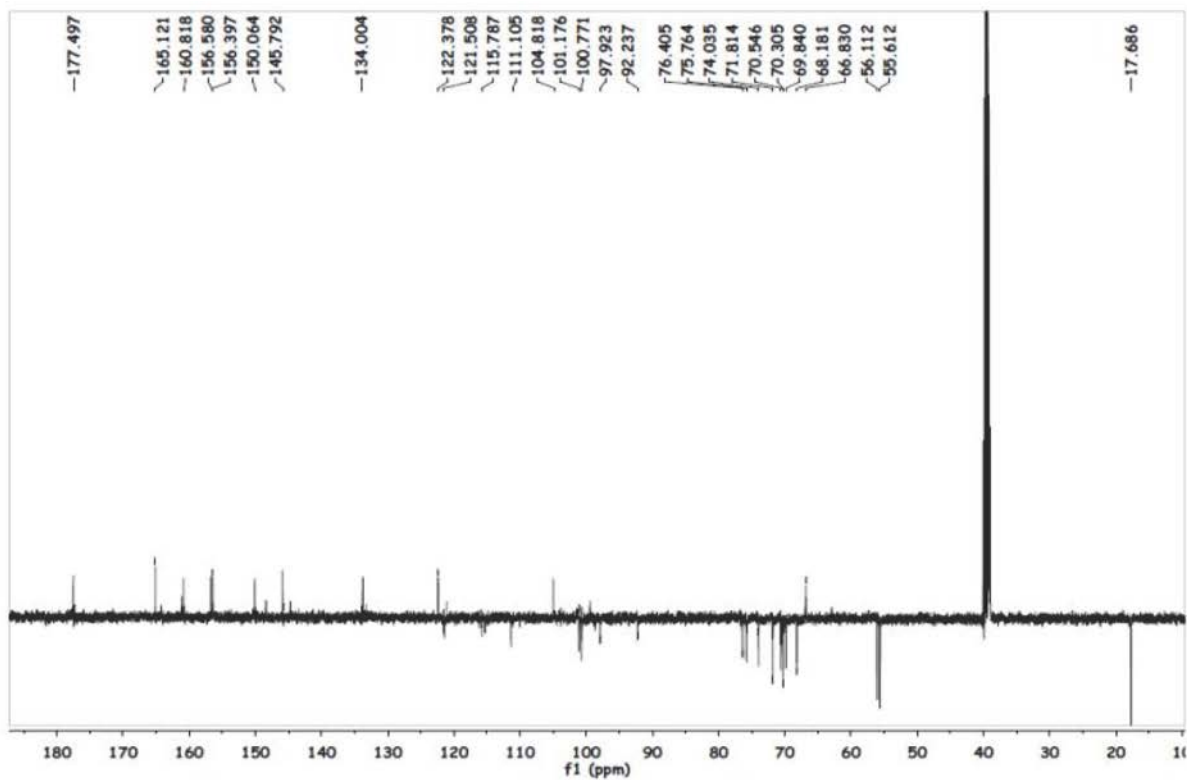


Figura 10S. Espectro de RMN ¹³C de 2 em 125 MHz obtido em DMSO-d₆

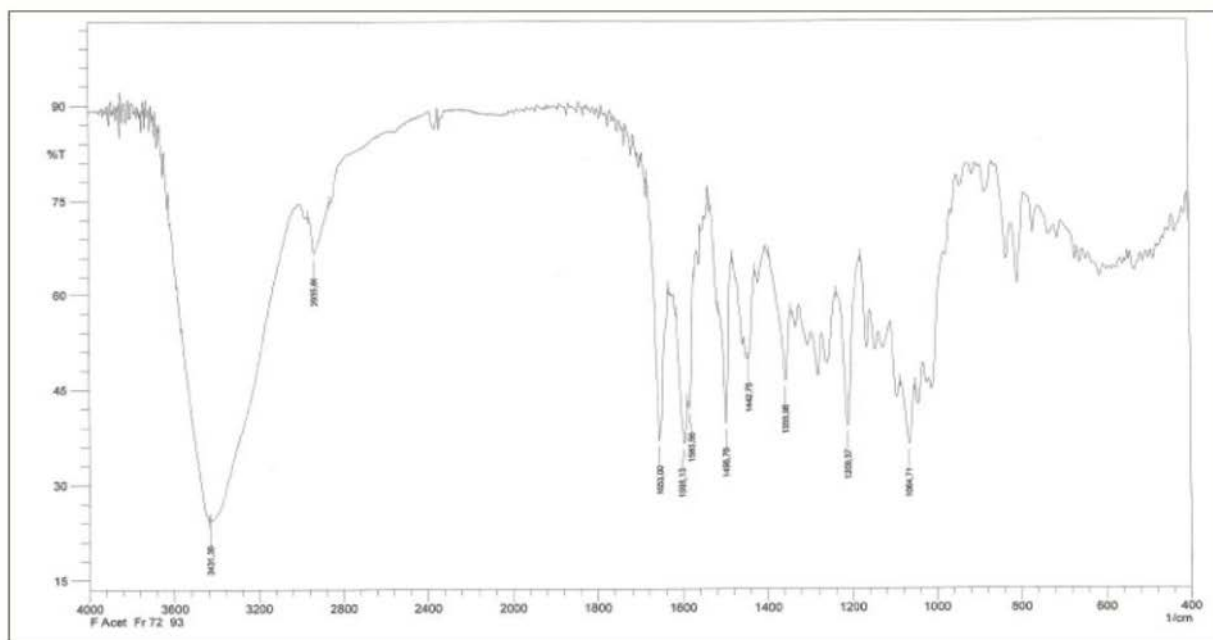


Figura 11S. Espectro de Infravermelho de 2 obtido em pastilhas de KBr

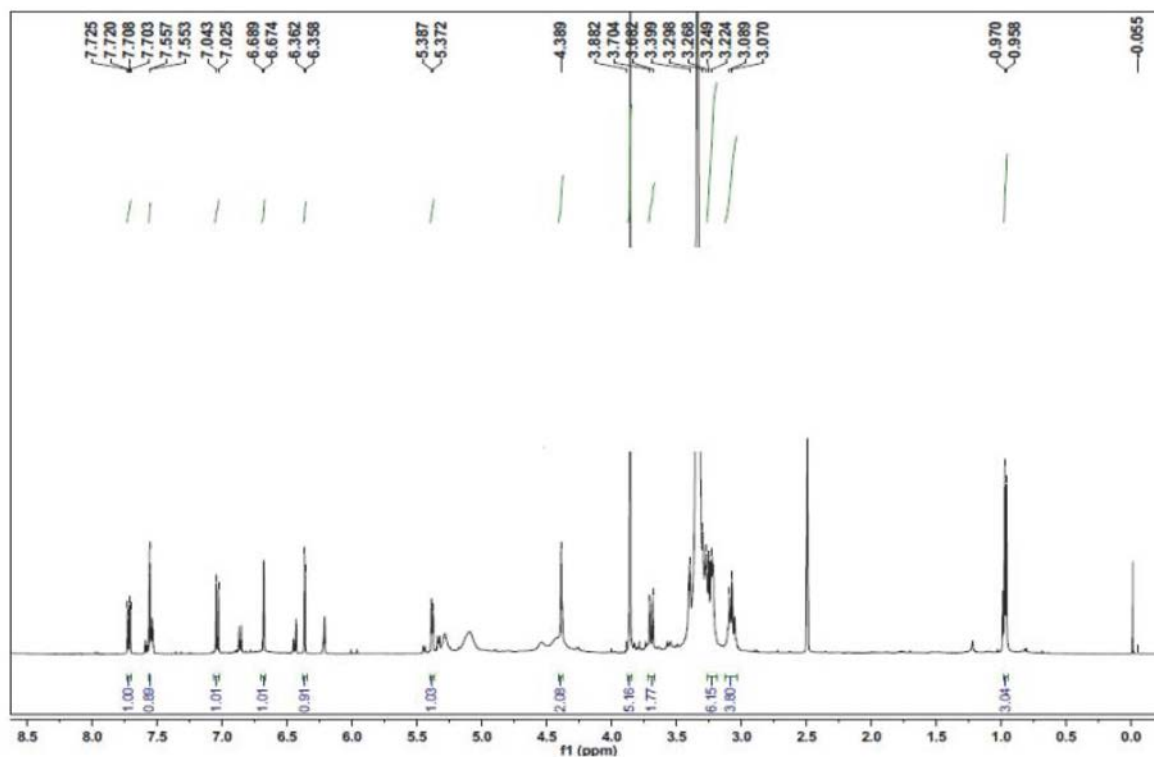


Figura 12S. Espectro de RMN ^1H de 2 em 500 MHz obtido em DMSO-d_6

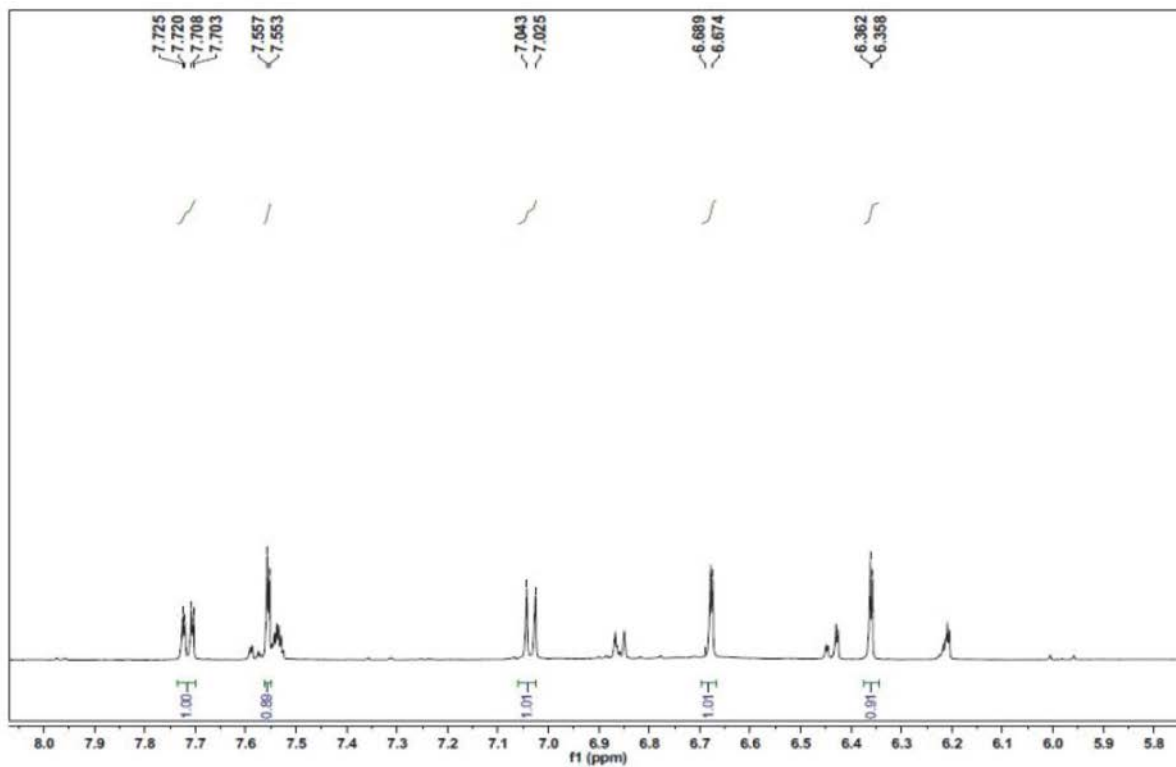


Figura 13S. Espectro de RMN ^1H de 2 em 500 MHz obtido em DMSO (expansão 8,0 – 5,8 ppm)

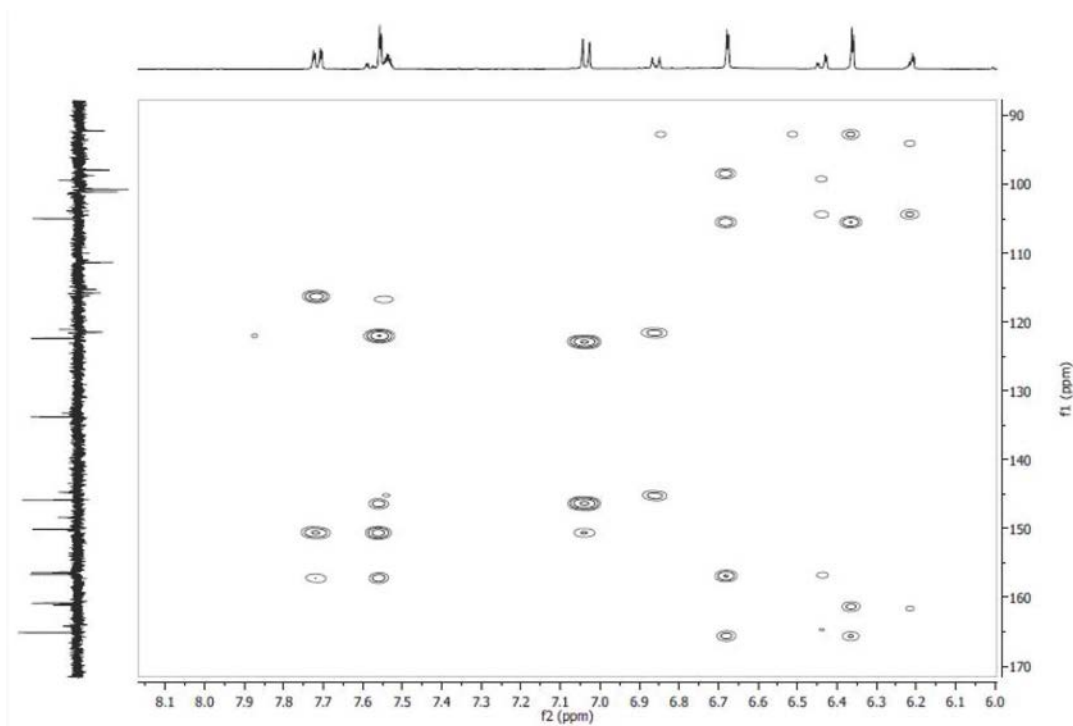


Figura 14S. Expansão do espectro de HMBC (500 e 125 MHz, DMSO- d_6) de 2 na região entre (6,0 a 8,1) x (90,0 a 170,0) ppm

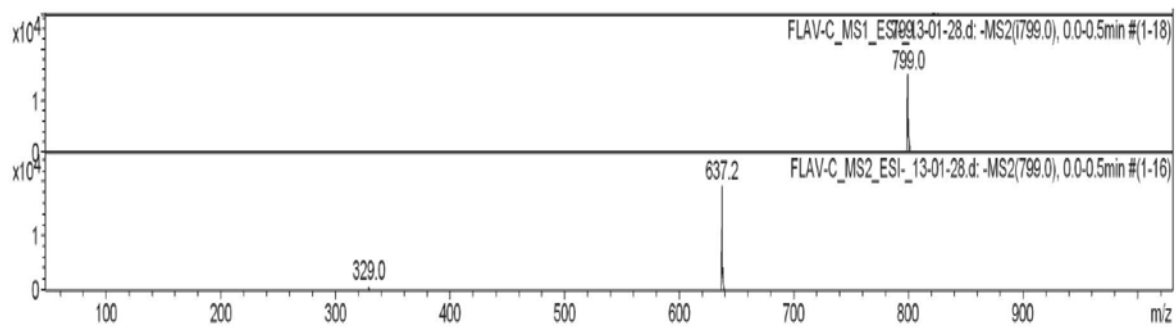


Figura 15S. Espectro de massas de massas EM-IES de 3

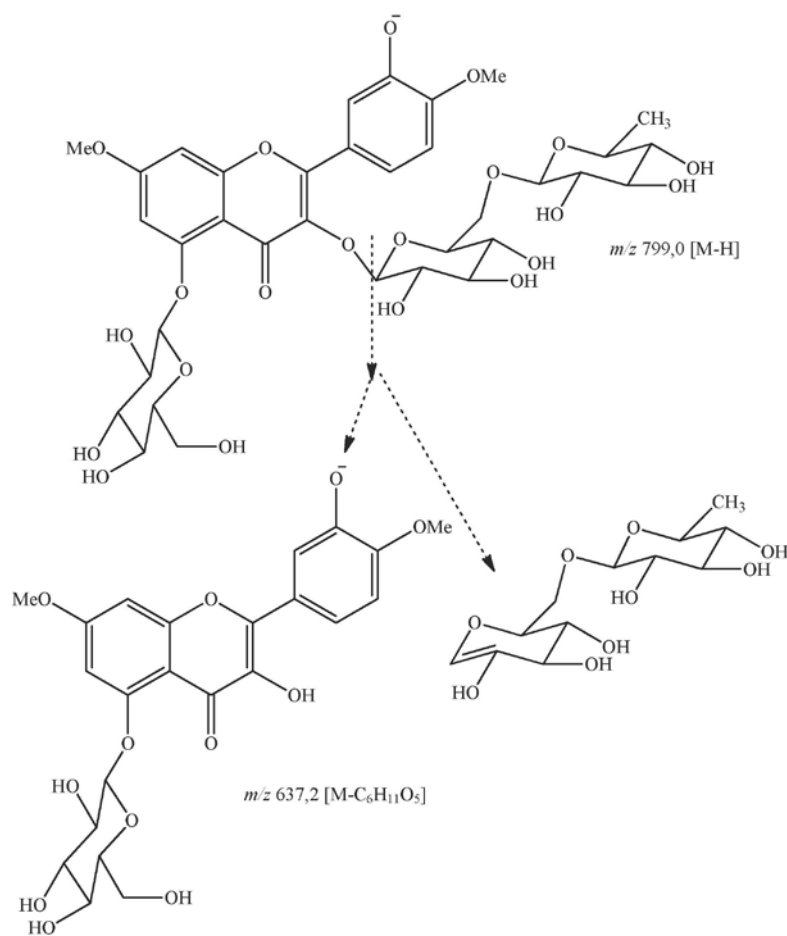


Figura 16S. Proposta de fragmentação de 3

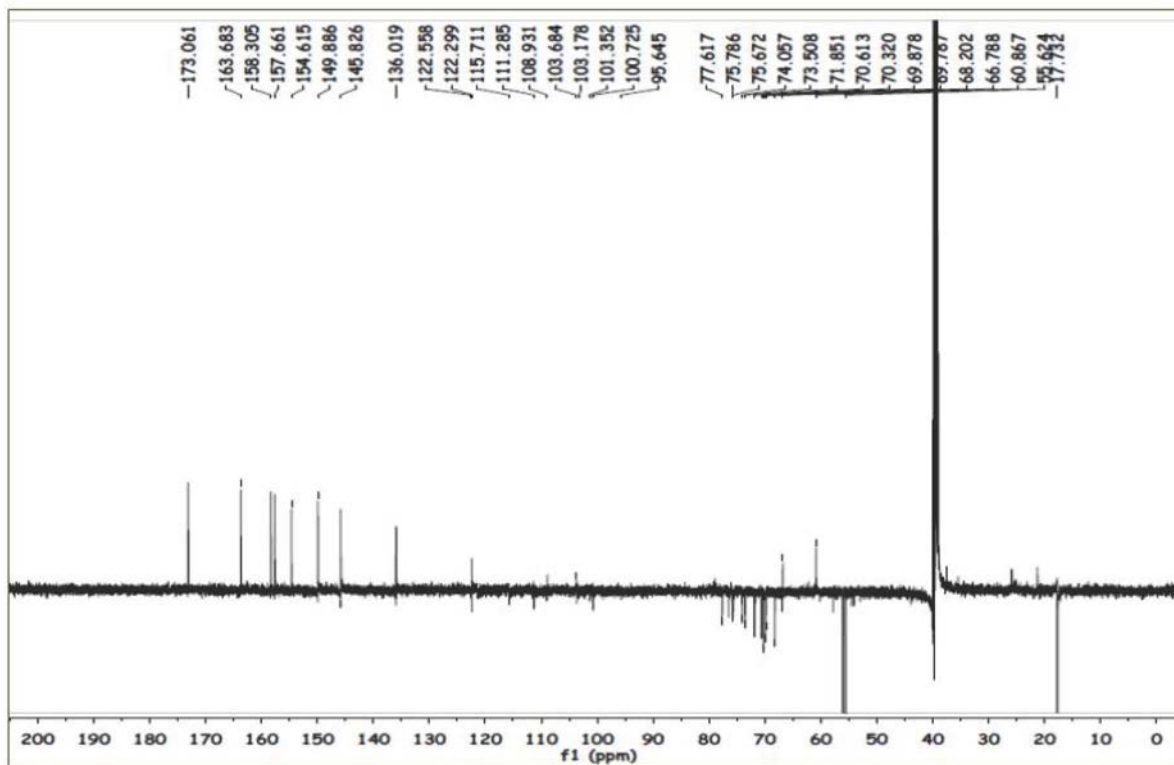


Figura 17S. Espectro de RMN ^{13}C de 3 em 125 MHz obtido em $\text{DMSO-}d_6$.

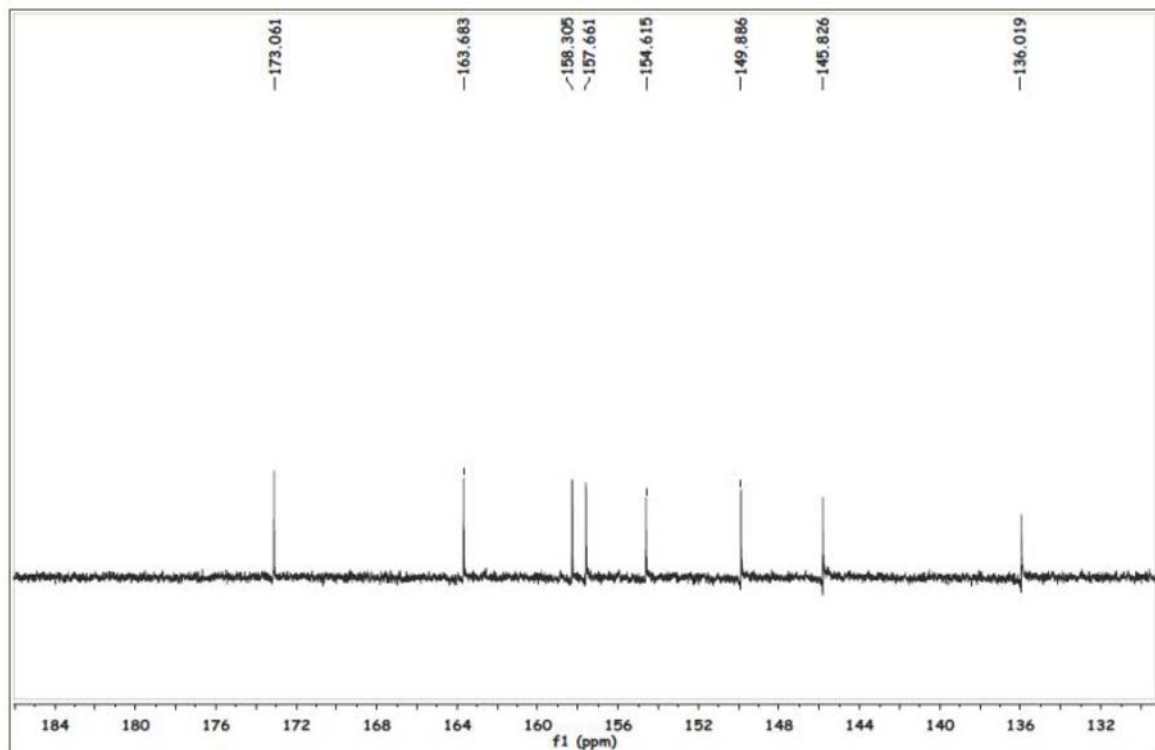


Figura 18S. Espectro de RMN ^{13}C de 3 em 125 MHz obtido em $\text{DMSO-}d_6$ (expansão 184-132 ppm)

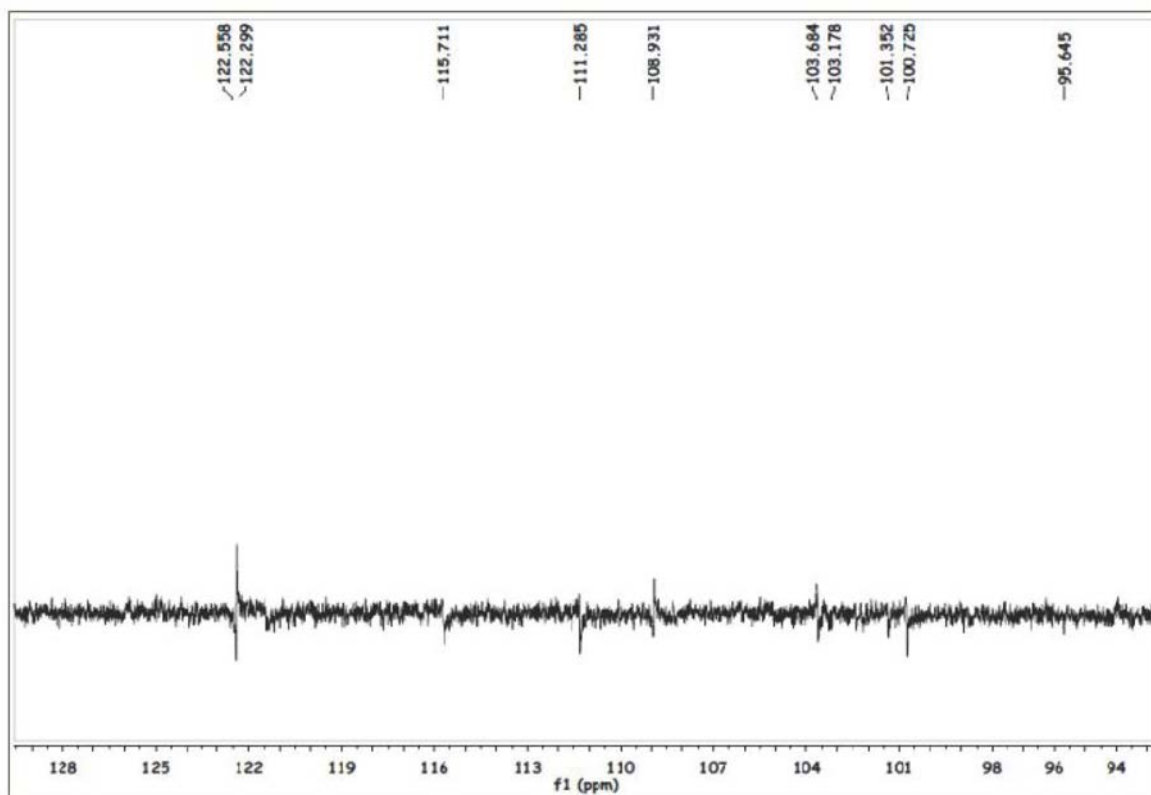


Figure 19S. Espectro de RMN ^{13}C de **3** em 125 MHz obtido em DMSO-d_6 (expansão 128-94 ppm)

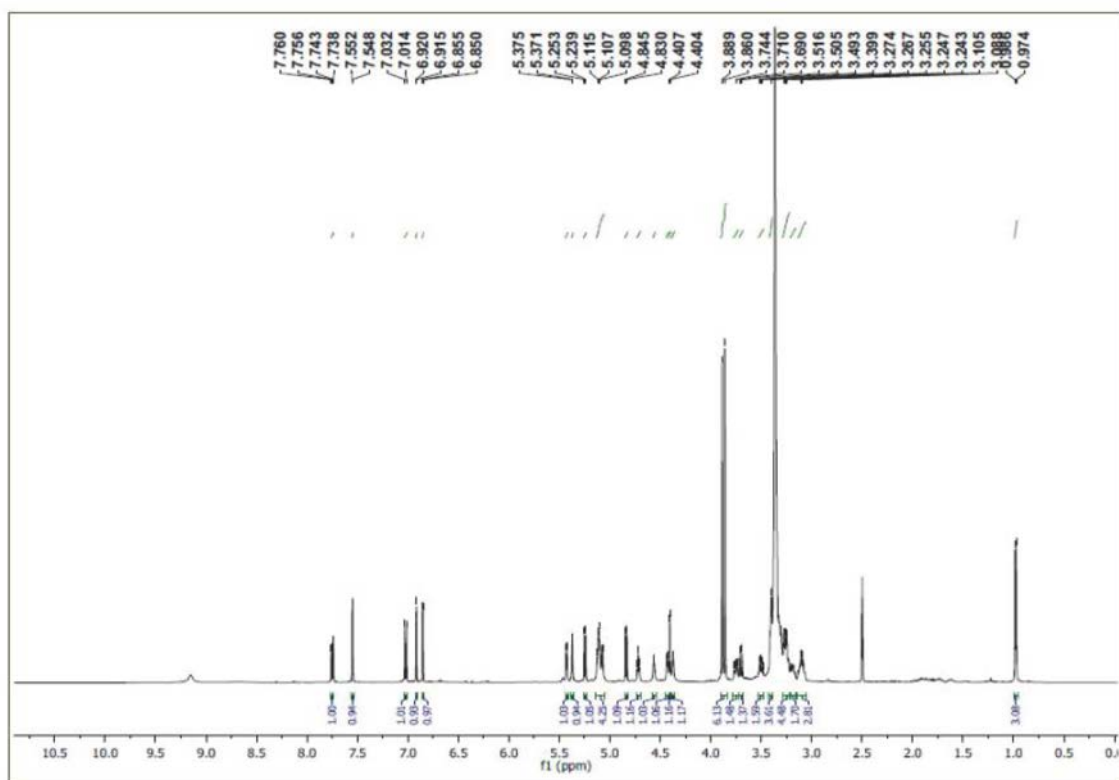


Figure 20S. Espectro de RMN ^1H de **3** em 500 MHz obtido em DMSO-d_6

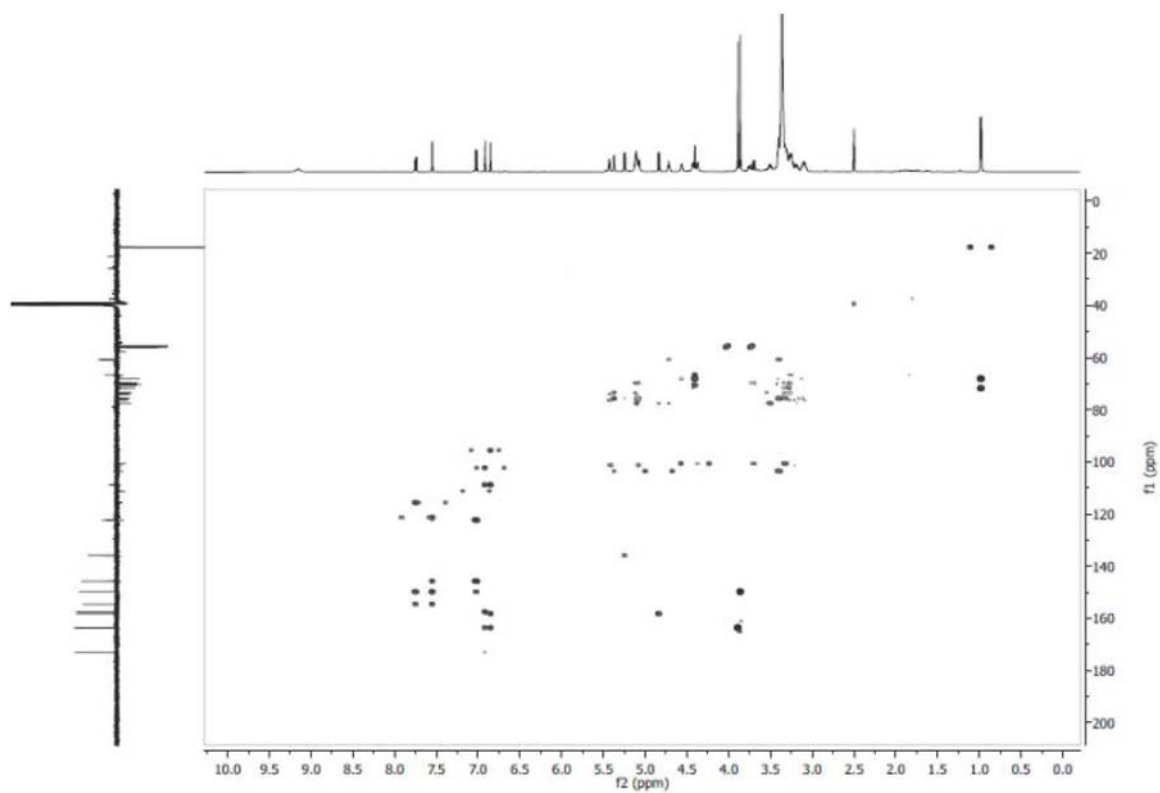


Figura 23S. Espectro HMBC (500 e 125 MHz, DMSO- d_6) de 3

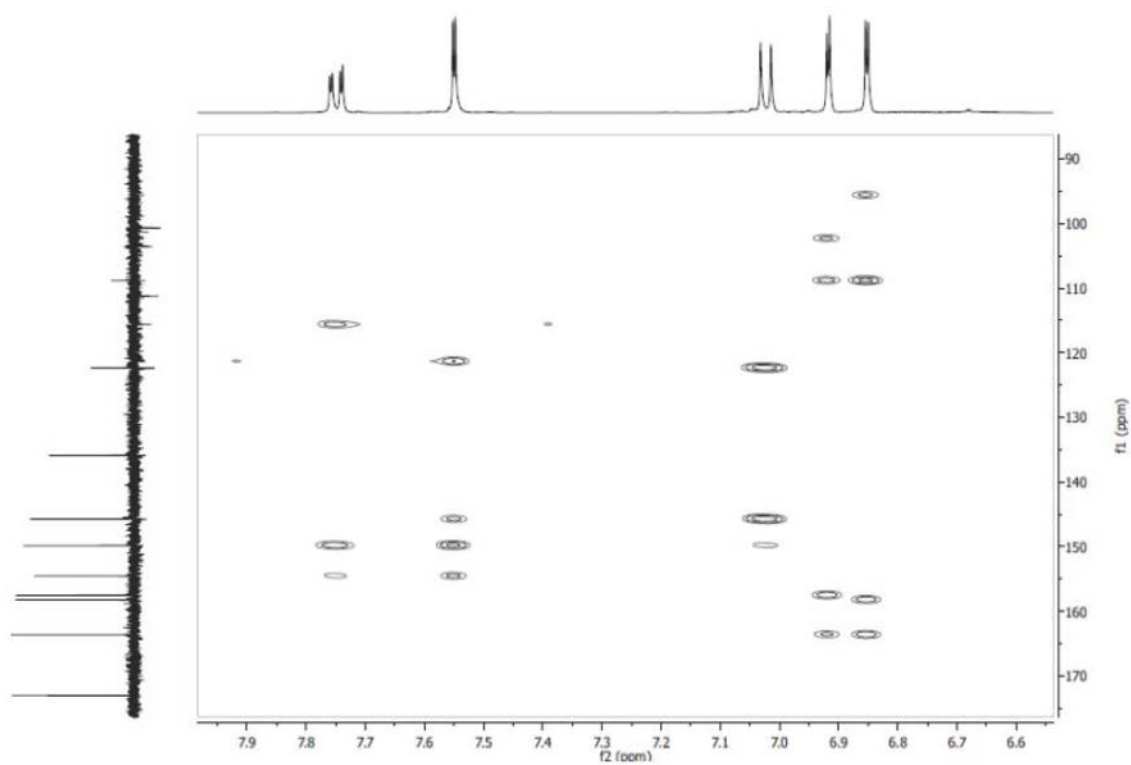


Figura 24S. Expansão do espectro HMBC (500 e 125 MHz, DMSO- d_6) de 3 na região de (6,6 – 7,9 ppm) x (90,0 – 170,0 ppm)

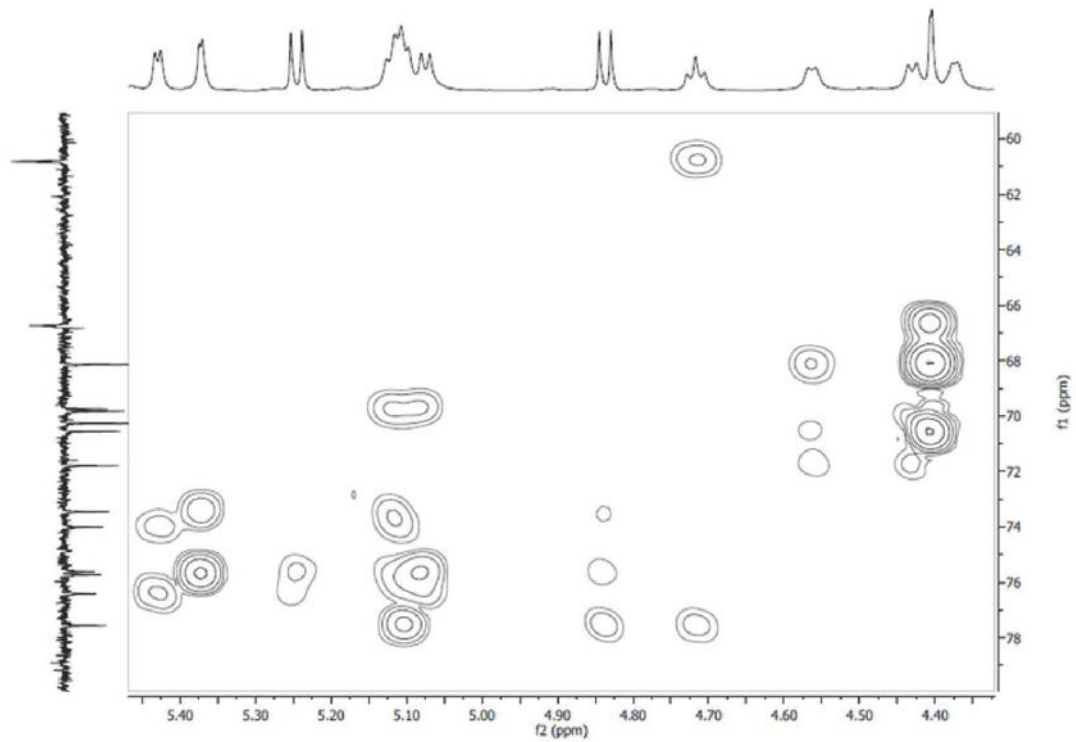


Figura 25S. Expansão do espectro HMBC (500 e 125 MHz, DMSO- d_6) de **3** na região de (4,4 – 5,4 ppm) x (60,0 – 78,0 ppm)